

# 森林環境に対する酸性雨の影響(Ⅲ) — 土壤母材別の緩衝能について —

大分県林業試験場 高宮 立身・諫本 信義

## 1. はじめに

pH5以下の酸性雨が今や慢性化しつつあり、森林土壤の酸性化に伴うアルミニウムの溶出により、植物の成育阻害や樹勢の衰退が危惧されている。しかし、森林土壤は、酸性降下物に対する生物的・非生物的な作用によって中和する緩衝能を持ち、酸性化の進行が抑制されている。この中和能力は、土壤母材や植被等によって相違するものと考えられる。本報告では、土壤母材別の緩衝能を検討するため、短時間に処理できるバッヂ法を用いて、酸を負荷させ、浸出水のpHと溶出してくるアルミニウムの量を測定したので、その結果を報告する。

## 2. 材料及び方法

### (1) 土壌の理化学分析

1994~1997年にかけて、県内11箇所からA層とB層の土壤を採取し、風乾させ、2mmの篩いにかけて常温で保存したものを、JAおおいた経済連、土壤診断センターに持込み、pH(H<sub>2</sub>O)、pH(KCl)、陽イオン交換容量(CEC)及び交換性カチオン(Ca, Mg, K)の分析を依頼した。なお、いずれの林分も樹勢の衰退症状は認められなかった。

### (2) 酸負荷法とAl<sup>3+</sup>の定量

酸負荷は鴨下ら<sup>1)</sup>の方法に準拠した。すなわち、土壤溶液中に酸を負荷させ、pH3に要する量を「抗酸量」として、土壤の緩衝能の一指標とした。

まず、風乾細土10gを200mlのコニカルビーカーに入れ、蒸留水50mlを添加し、よく攪拌した後、約30分放置した。これに0.1N HCl溶液をそれぞれ0, 3, 9, 27mlを加え、20分静置後pH(H<sub>2</sub>O)を測定した。浸出水はNo.5Aのろ紙でろ過し、冷蔵保存後、大分県衛生環境研究センターでICP法によりAl<sup>3+</sup>を定量した。

## 3. 結 果

### (1) 土壌の分析結果

分析結果は表-1に示す。pH(H<sub>2</sub>O)は4.2~6.2の範囲にあり、A層がB層より低い傾向にあった。CECは7.0~64.9me, 塩基飽和度は0.7~83.5%の範囲内にあり、B層よりA層の方が高かった。また、塩基飽和度はpH(H<sub>2</sub>O)との関係が高く、正の相関関係(A層:r=0.888, B層:r=0.715)が認められた。一方、置換酸性を示すpH(KCl)との間にはA層で0.946と高い数値を示したが、B層では相関関係は認められなかった。

### (2) 抗酸量の測定

酸負荷量に対するpH(H<sub>2</sub>O)をグラフ上にプロットし、これから近似的緩衝曲線を作成し、pH3に要する0.1N HClのml数を読み取り抗酸量とした。結果を表-1に示し、図-1にはCEC、塩基飽和度とともに高いNo.3とCECが高かった黒色火山灰土壤のNo.6のA層とB層のpH変動と近似曲線を示す。図のように酸負荷により土壤溶液中のpHは急激に低下し、No.3のA層とNo.6のB層以外の試料はすべて27ml酸負荷によりpH<3となっただ。したがって、ほとんどの試料の抗酸量は27ml以下を示したが、図に示すNo.6のB層では47.3mlと酸を負荷してもpHがなかなか低下しない土壤であった。抗酸量はCECとの間には正の相関関係(r=0.652)が認められ、CECが高いと抗酸量が多くなる傾向を示した。

### (3) Al<sup>3+</sup>の定量

土壤の酸性化で最も問題なのはpHが低下することにより植物に有害なAl<sup>3+</sup>が溶出してくることである。酸負荷によってpH(H<sub>2</sub>O)が4以下に低下するとAl<sup>3+</sup>の溶出が急激に増加したが、ここでは各土壤試料間のAl<sup>3+</sup>の溶出量を比較するため、0, 3, 9, 27mlの0.1N HClを加えた時のAl<sup>3+</sup>の溶出量を下記に示す曲線回帰式に当てはめ、pH3のAl<sup>3+</sup>の溶出量を算出した。

$$\text{Log } y(j) = a_j + b_j X + c_j X^2$$

ここでy(j)はAl<sup>3+</sup>溶出量、xはpH(H<sub>2</sub>O)、a<sub>j</sub>, b<sub>j</sub>, c<sub>j</sub>はそれぞれの土壤試料における回帰係数である。結果は表-1に示す。Al<sup>3+</sup>の溶出量は1.1~380.7mg/lと差が大きかったが、特にNo.5, 6のような黒色火山灰土壤はアロフェンを多量に含むためAl<sup>3+</sup>の溶出量は顕著に多かった。

Tatsumi TAKAMIYA and Nobuyoshi ISAMOTO(Ooita Pref. Forest Exp. Stn., Hita, Ooita 877-1361)

Effects of acid rains on forest environment(Ⅲ) The buffering capacities in different types of parent materials

た。また、火山灰は広範な地域に降下しているため、No.11のように母材はチャートでも表層土壤に火山灰が降り積もっていると  $\text{Al}^{3+}$  は多量に溶出してきた。

#### 4. 考 察

植物に有害な  $\text{Al}^{3+}$  は、CECとの間にA層で0.916、B層は0.881と高い相関が認められた。図-2に各土壤のA層のCECと  $\text{Al}^{3+}$  溶出量との関係を示すが、黒色火山灰土壤は他の土壤と比べてCECが高い、 $\text{Al}^{3+}$  の溶出が顕著な特異的なグループを形成していた。これら黒色火山灰土壤はpH及び塩基飽和度が低く、CECが高いという点で共通しており、またアロフェンに多量に含まれる  $\text{Al}^{3+}$  が、pHの低下とともに溶出してくる際に  $\text{H}^+$  を消費するためにpHの低下が抑制され、抗酸量が多いという点で他の土壤とは明らかに特異的であった。

のことから、酸性雨に対する緩衝能の実験等には、火山灰土壤とその他の土壤とは区別して行う必要があるものと考えられた。また、その他の土壤については、試料数が少なく、母材別特性が引き出せるような結果を示すことができなかった。今後は火山灰土壤と影響の少ない土壤とにわけ、試料数をさらに増やし、施業や植生等の影響を要因に入れた主成分分析等の統計解析を行う計画である。

#### 引用文献

- (1) 鴨下寛ほか: 土肥誌, 50, 67~70, 1979
- (2) 「酸性雨」編集委員会・(社)ゴルフファーの緑化促進協力会編: 新版酸性雨, 201~213, 博友社, 東京, 1996

表-1 土壤試料の概要と理化学的特性及び抗酸量、 $\text{Al}^{3+}$  の溶出量

番号	採取場所	土壤型	母材	樹種	層位	pH	pH	pH	CEC (me)	塩基飽和度%			抗酸量 (ml)	$\text{Al}^{3+}$ の溶出量 (mg/l)	
						(H <sub>2</sub> O)	(KCl)	差		CaO	MgO	K <sub>2</sub> O	計		
1	佐伯市	BD	粘板岩	イチガシ	A	5.1	4.0	1.1	21.4	2.3	2.8	1.9	7.0	12.9	13.2
					B	5.5	4.4	1.1	12.6	2.4	3.2	1.3	6.9	9.1	24.5
2	佐伯市	BD	砂岩	スギ壮齡林	A	6.2	4.8	1.4	21.5	52.6	9.8	2.9	65.3	13.1	2.5
					B	5.6	4.1	1.5	12.8	43.8	13.3	1.6	58.7	7.6	1.1
3	国東町	BD	プロピライト	スギ30年	A	6.0	5.1	0.9	28.5	70.5	10.9	2.1	83.5	29.0	2.5
					B	6.0	4.5	1.5	17.8	54.5	16.9	1.5	72.9	10.5	1.9
4	三重町	BD	阿蘇熔結凝灰岩	スギ壮齡林	A	5.1	4.3	0.8	24.3	22.6	2.9	2.8	28.3	22.4	16.3
					B	5.8	4.5	1.3	7.5	8.0	1.3	13.1	22.4	9.1	10.7
5	久住町	BID	黒色	広葉樹林	A	4.6	3.7	0.9	61.9	1.8	1.1	1.0	3.9	19.8	83.4
					B	5.3	4.3	1.0	7.0	1.4	1.4	1.1	3.9	15.3	78.7
6	久住町	BID	黒色	スギ30年	A	4.2	3.6	0.6	64.4	1.1	0.8	0.6	2.5	24.6	83.6
					B	4.8	4.4	0.4	46.3	0.2	0.2	0.3	0.7	47.3	380.7
7	日田市	Bc	耶馬溪熔結凝灰岩	ヒノキ跡	A	5.2	4.1	1.1	16.7	19.2	6.0	3.1	28.3	7.9	3.8
					B	5.2	3.4	1.8	16.2	11.1	6.8	1.6	19.5	7.9	2.8
8	日田市	Bc	第四紀洪積層	ヒノキ跡	A	5.5	4.4	1.1	16.0	33.8	8.8	4.6	47.2	15.9	2.1
					B	5.2	3.7	1.5	11.6	1.7	14.7	2.5	18.9	10.2	3.7
9	日田市	Bd (d)	筑紫溶岩	コジイ	A	4.2	3.5	0.7	26.8	1.9	4.1	1.6	7.6	10.1	18.4
					B	4.9	3.8	1.1	16.8	1.2	17.3	0.8	19.3	7.8	3.8
10	日田市	BD	変朽安山岩	スギ林	A	4.4	3.6	0.8	29.0	6.9	2.8	1.4	11.1	14.8	20.7
					B	4.7	4.0	0.7	10.5	1.0	1.0	1.0	3.0	8.0	37.9
11	宇目町	BID	チャート	広葉樹林	A	5.0	4.0	1	49.5	3.8	1.8	1.4	7.0	21.5	107.3
					B	5.2	4.8	0.4	10.8	2.8	1.9	1.2	5.9	8.7	23.7

注-1) 抗酸量はpH3に要する酸(本実験では0.1N HCl)の負荷量を示す。

注-2)  $\text{Al}^{3+}$  の溶出量(mg/l)はpH3における推定値を示す。

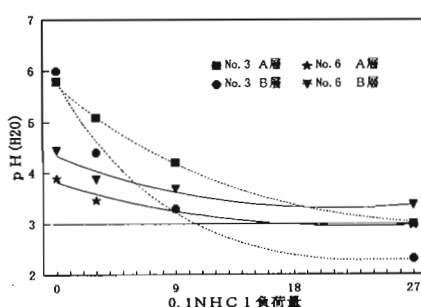


図-1 酸負荷によるpHの変動 (No. 3と6)

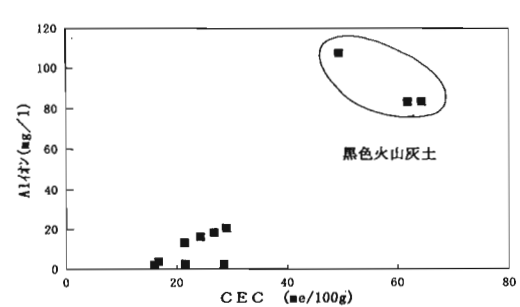


図-2 A層におけるCECと $\text{Al}^{3+}$  (pH3)溶出量との関係